

С.М. Босяков

**ПОВЕРХНОСТИ ОБРАТНЫХ СКОРОСТЕЙ И ТРЕХМЕРНЫЕ ВОЛНОВЫЕ
ФРОНТЫ ДЛЯ ОРТОТРОПНЫХ СРЕД**

Expressions for velocities of propagation of quasilongitudinal and quasitransversal waves in orthotropic material, and also coordinates of points of the media determining position of three-dimensional wave front during the any moment of time are obtained. Examples of construction of surfaces of reverse velocities and wave surfaces for fabric fiberglass are resulted.

В динамической теории упругости анизотропных сред большое место занимают исследования поверхностей, характеризующих различные аспекты распространения упругих волн. Таковыми, например, являются поверхности обратных скоростей, лучевые поверхности и т. д. [1]. Это обусловлено тем, что упомянутые поверхности дают возможность не только рассчитать скорости распространения волн, переноса энергии, но и наглядно представить волновые процессы, описать их особенности. Достаточно полный анализ закономерностей распространения упругих волн в анизотропных средах различных классов симметрии проведен в большом количестве публикаций, в том числе [2]. Тем не менее, трехмерные представления волновых движений (поверхности обратных скоростей, волновые поверхности) в анизотропных материалах, в частности материалах ромбической системы (ортотропных материалах), практически отсутствуют в полном объеме. В настоящей работе представлены результаты моделирования трехмерных волновых движений, распространяющихся в упругих ортотропных средах от сосредоточенного источника с помощью метода характеристик теории дифференциальных уравнений с частными производными [3, 4].

В этом случае уравнения движения принимают следующий вид:

$$\begin{aligned}
 & (A_{13} + A_{55})\partial_1\partial_3u_3 + (A_{12} + A_{66})\partial_1\partial_2u_2 + \\
 & + A_{11}\partial_1^2u_1 + A_{66}\partial_2^2u_1 + A_{55}\partial_3^2u_1 = \rho\partial_t^2u_1, \\
 & (A_{12} + A_{66})\partial_1\partial_2u_2 + (A_{23} + A_{44})\partial_2\partial_3u_3 + \\
 & + A_{66}\partial_1^2u_2 + A_{22}\partial_2^2u_2 + A_{44}\partial_3^2u_2 = \rho\partial_t^2u_2, \\
 & (A_{13} + A_{55})\partial_1\partial_3u_1 + (A_{23} + A_{44})\partial_2\partial_3u_2 + \\
 & + A_{55}\partial_1^2u_3 + A_{44}\partial_2^2u_3 + A_{33}\partial_3^2u_3 = \rho\partial_t^2u_3.
 \end{aligned} \tag{1}$$

где A_{ij} , A_{kk} – константы упругости, $i, j = \overline{1,3}$, $k = \overline{4,6}$.

После стандартной процедуры для уравнения характеристик системы (1) будем иметь:

$$q_0 p_0^6 / c^6 + q_1 p_0^4 / c^4 + q_2 p_0^2 / c^2 + q_3 = 0. \tag{2}$$

Коэффициенты уравнения (2) имеют вид:

$$\begin{aligned}
 q_0 &= -1, \\
 q_1 &= (a_1 + a_5 + a_6)p_1^2 + (a_2 + a_4 + a_6)p_2^2 + (a_3 + a_4 + a_5)p_3^2,
 \end{aligned}$$

$$\begin{aligned}
q_2 = & \left(2a_4^2 - a_1a_2 - a_1 - a_5a_2 - a_6 - a_5a_6 + 2a_4a_6\right)p_1^2p_2^2 + \\
& + \left(a_7^2 - a_1a_3 - a_1 - a_5 - a_3a_6 - a_5a_6 + 2a_7a_5\right)p_1^2p_3^2 + \\
& + \left(a_8^2 - a_2a_3 - a_2a_5 - a_5 - a_3a_6 - a_6 + 2a_8\right)p_2^2p_3^2 - \\
& - \left(a_1a_5 + a_1a_6 + a_5a_6\right)p_1^4 - \left(a_2 + a_2a_6 + a_6\right)p_2^4 - \left(a_3 + a_3a_5 + a_5\right)p_3^4, \\
q_3 = & a_1a_5a_6p_1^6 + a_2a_6p_2^6 + a_3a_5p_3^6 + \\
& + p_1^2 \left(p_2^4 \left(a_2(a_1 + a_5a_6) - a_4(a_4 + 2a_6) \right) + \right. \\
& + p_3^4 \left(a_3(a_1 + a_5a_6) - a_7(a_7 + 2a_5) \right) \left. \right) + \\
& + p_2^2 \left(p_1^4 \left(a_1(a_2a_5 + a_6) - a_5a_7(a_7 + 2a_6) \right) + \right. \\
& + p_3^4 \left(a_3(a_2a_5 + a_6) - a_5a_8(a_8 + 2) \right) \left. \right) + \\
& + p_3^2 \left(p_1^4 \left(a_1(a_5 + a_3a_6) - a_6a_7(a_7 + 2a_5) \right) + \right. \\
& + p_2^4 \left(a_2(a_5 + a_3a_6) - a_6a_8(a_8 + 2) \right) \left. \right) + a_9p_1^2p_2^2p_3^2,
\end{aligned}$$

где $a_9 = 2a_5a_6 + a_1a_2a_3 + a_1 + a_2a_5^2 + a_3a_6^2 - a_3(a_7 + a_6)^2 - a_1(a_8 + 1)^2 - a_2(a_7 + a_5)^2 + 2(a_8 + 1)(a_7 + a_5)(a_7 + a_6)$, $a_i = A_{ii}/A_{44}$, $a_4 = A_{12}/A_{44}$, $a_7 = A_{13}/A_{44}$, $a_8 = A_{23}/A_{44}$, $c = \sqrt{A_{44}/\rho}$, $i = 1, 2, 3, 5, 6$.

Из уравнения (2) найдем безразмерные скорости v_i распространения упругих волн (коэффициенты \hat{q}_i получаются из вышеприведенных коэффициентов q_i заменой параметров p_k на направляющие косинусы нормали к поверхности n_k , $i, k = \overline{1, 3}$):

$$\begin{aligned}
v_k = & \sqrt{2\sqrt{-\frac{\hat{p}}{3}} \cos\left(\frac{\hat{\Lambda} + 2\pi(4-k)}{3}\right) - \frac{\hat{q}_1}{3q_0}}, \\
\hat{\Lambda} = & \arccos\left(-\frac{\hat{q}}{2}\sqrt{-\left(\frac{3}{\hat{p}}\right)^3}\right),
\end{aligned} \tag{3}$$

где $\hat{p} = -\frac{\hat{q}_1^2}{3q_0^2} + \frac{\hat{q}_2}{q_0}$; $\hat{q} = \frac{2\hat{q}_1^3}{27q_0^3} - \frac{\hat{q}_1\hat{q}_2}{3q_0^2} + \frac{\hat{q}_3}{q_0}$, $k = \overline{1, 3}$.

Для любых значений угла наклона нормали к характеристической поверхности выполняется $v_1 > v_2 \geq v_3$, то есть индекс $k = 1$ соответствует квазипродольной волне, индексы $k = 2, 3$ – квазипоперечным волнам.

Полученные выражения для скоростей (3) позволяют выполнить построение безразмерных поверхностей обратных скоростей квазипродольной и квазипоперечной волн, распространяющихся в ортотропной среде. На рис. 1 представлены безразмерные поверхности

обратных скоростей для тканевого стеклопластика горячего прессования СТЭТ, упругие свойства которого описываются константами $a_1 = 6,02$, $a_2 = 5,31$, $a_3 = 3,27$, $a_4 = 1,15$, $a_5 = 1,05$, $a_6 = 1,21$, $a_7 = 0,75$, $a_8 = 1,32$ (числовые данные, необходимые для расчета, взяты из [5]).

Заметим, что аналогичный вид имеют поверхности обратных скоростей для квазипродольных и квазипоперечных волн, распространяющихся в намоточном однонаправленном и ортогонально-армированном стеклопластике.

Выразим из уравнения (2) параметр p_0 :

$$p_0^{(k)} = c \sqrt{2 \sqrt{-\frac{p}{3}} \cos\left(\frac{\Lambda + 2\pi(4-k)}{3}\right) - \frac{q_1}{3q_0}},$$

$$\Lambda = \arccos\left(-\frac{q}{2} \sqrt{-\left(\frac{3}{p}\right)^3}\right),$$
(4)

где $p = -\frac{q_1^2}{3q_0^2} + \frac{q_2}{q_0}$; $q = \frac{2q_1^3}{27q_0^3} - \frac{q_1q_2}{3q_0^2} + \frac{q_3}{q_0}$, верхний индекс указывает на тип упругой волны ($k = 1$ соответствует квазипродольной волне, $k = 2, 3$ – квазипоперечным волнам).

Выполним дифференцирование выражений (4) по p_i , $i = \overline{1,3}$. В результате после несложных преобразований будем иметь безразмерные координаты $(x_1^{(k)}, x_2^{(k)}, x_3^{(k)})$ точек ортотропной среды, до которых к моменту времени t дошла энергия волнового возмущения:

$$\frac{x_i^{(k)}}{ct} = \frac{1}{v_k} \left(\frac{1}{2\sqrt{-3\hat{p}}} \left(\frac{2\hat{q}_1\hat{q}_{1i}}{3q_0^2} - \frac{\hat{q}_{2i}}{q_0} \right) \cos\left(\frac{\hat{\Lambda} + 2\pi(4-k)}{3}\right) - \right.$$

$$\left. - \frac{1}{3} \sqrt{-\frac{\hat{p}}{3}} \sin\left(\frac{\hat{\Lambda} + 2\pi(4-k)}{3}\right) \sqrt{\frac{\hat{p}^3}{4\hat{p}^3 + 27\hat{q}^2}} \times \right.$$

$$\left. \times \left(\left(\frac{2\hat{q}_1^2\hat{q}_{1i}}{9q_0^3} - \frac{\hat{q}_2\hat{q}_{1i} + \hat{q}_1\hat{q}_{2i}}{3q_0^2} + \frac{\hat{q}_{3i}}{q_0} \right) \sqrt{\left(-\frac{3}{\hat{p}}\right)^3} - \right.$$

$$\left. \left. - \frac{9\hat{q}\sqrt{3}}{2} \sqrt{\left(-\frac{1}{\hat{p}}\right)^5 \left(\frac{2\hat{q}_1\hat{q}_{1i}}{3q_0^2} - \frac{\hat{q}_{2i}}{q_0} \right)} \right) \right),$$
(5)

Здесь коэффициенты \hat{q}_{ki} , $i, k = \overline{1,3}$, определяются следующим образом:

$$\hat{q}_{11} = 2(a_1 + a_5 + a_6)n_1, \hat{q}_{12} = (a_2 + a_4 + a_6)n_2, \hat{q}_{13} = (a_3 + a_4 + a_5)n_3,$$

$$\hat{q}_{21} = 2(2a_4^2 - a_1a_2 - a_1 - a_5a_2 - a_6 - a_5a_6 + 2a_4a_6)n_1n_2^2 +$$

$$+ 2(a_7^2 - a_1a_3 - a_1 - a_5 - a_3a_6 - a_5a_6 + 2a_7a_5)n_1n_3^2 - 4(a_1a_5 + a_1a_6 + a_5a_6)n_1^3,$$

$$\begin{aligned}
\hat{q}_{22} &= 2\left(2a_4^2 - a_1a_2 - a_1 - a_5a_2 - a_6 - a_5a_6 + 2a_4a_6\right)n_2n_1^2 + \\
&+ 2\left(a_8^2 - a_2a_3 - a_2a_5 - a_5 - a_3a_6 - a_6 + 2a_8\right)n_2n_3^2 - 4\left(a_2 + a_2a_6 + a_6\right)n_2^3, \\
\hat{q}_{23} &= 2\left(a_7^2 - a_1a_3 - a_1 - a_5 - a_3a_6 - a_5a_6 + 2a_7a_5\right)n_3n_1^2 + \\
&+ 2\left(a_8^2 - a_2a_3 - a_2a_5 - a_5 - a_3a_6 - a_6 + 2a_8\right)n_3n_2^2 - 4\left(a_3 + a_3a_5 + a_5\right)n_3^3, \\
\hat{q}_{31} &= 6a_1a_5a_6n_1^5 + 2\left(n_2^4\left(a_2\left(a_1 + a_5a_6\right) - a_4\left(a_4 + 2a_6\right)\right) + \right. \\
&\quad \left. + n_3^4\left(a_3\left(a_1 + a_5a_6\right) - a_7\left(a_7 + 2a_5\right)\right)\right)n_1 + \\
&\quad + 4\left(n_3^2\left(a_1\left(a_5 + a_3a_6\right) - a_6a_7\left(a_7 + 2a_5\right)\right) + \right. \\
&\quad \left. + n_2^2\left(a_1\left(a_2a_5 + a_6\right) - a_5a_7\left(a_7 + 2a_6\right)\right)\right)n_1^3 + 2a_9n_1n_2^2n_3^2, \\
\hat{q}_{32} &= 6a_2a_5n_2^5 + 2\left(n_1^4\left(a_1\left(a_2a_5 + a_6\right) - a_5a_7\left(a_7 + 2a_6\right)\right) + \right. \\
&\quad \left. + n_3^4\left(a_3\left(a_2a_5 + a_6\right) - a_5a_8\left(a_8 + 2\right)\right)\right)n_2 + \\
&\quad + 4\left(n_1^2\left(a_2\left(a_1 + a_5a_6\right) - a_4\left(a_4 + 2a_6\right)\right) + \right. \\
&\quad \left. + n_3^2\left(a_2\left(a_5 + a_3a_6\right) - a_6a_8\left(a_8 + 2\right)\right)\right)n_2^3 + 2a_9n_2n_1^2n_3^2, \\
\hat{q}_{33} &= 6a_3a_5n_3^5 + 2\left(p_1^4\left(a_1\left(a_5 + a_3a_6\right) - a_6a_7\left(a_7 + 2a_5\right)\right) + \right. \\
&\quad \left. + p_2^4\left(a_2\left(a_5 + a_3a_6\right) - a_6a_8\left(a_8 + 2\right)\right)\right)n_3 + \\
&\quad + 4\left(n_1^2\left(a_3\left(a_1 + a_5a_6\right) - a_7\left(a_7 + 2a_5\right)\right) + \right. \\
&\quad \left. + n_2^2\left(a_3\left(a_2a_5 + a_6\right) - a_5a_8\left(a_8 + 2\right)\right)\right)n_3^3 + 2a_9n_3n_1^2n_2^2.
\end{aligned}$$

На рис. 2 представлены поверхности квазипродольной и квазипоперечных волн, распространяющихся в тканевом стеклопластике горячего прессования СТЭТ, вид которых определяется соответствующими безразмерными координатами $\left(x_1^{(k)}, x_2^{(k)}, x_3^{(k)}\right)$ из формул (5) (числовые данные прежние).

Из рис. 2 видно, что распространение квазипоперечных волн в тканевом стеклопластике СТЭТ сопровождается образованием сложной системы лакун. В частности, при распространении одной из квазипоперечных волн (рис. 2, 2) возникает две кольцевые лакуны, при распространении другой квазипоперечной волны (рис. 2, 3) — четыре лакуны с плоским основанием.

В заключение отметим, что с помощью выражений для координат достаточно легко можно построить сечения поверхностей обратных скоростей и трехмерных волновых фронтов координатными плоскостями, а также другими плоскостями, проходящими через начало координат.

1. Дьелесан Э., Руайе Д. Упругие волны в твердых телах. Применение для обработки сигналов. М. 1982.

2. Шаскольская М. П. Акустические кристаллы. М., 1982.

3. Курант Ф. Уравнения с частными производными. М., 1964.
4. Петрашень Г. И. Распространение волн в анизотропных упругих средах. Ленинград, 1980.
5. Лехницкий С. Г. Теория упругости анизотропного тела. М., 1977.

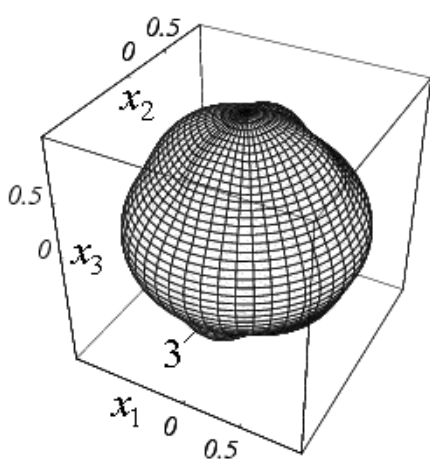
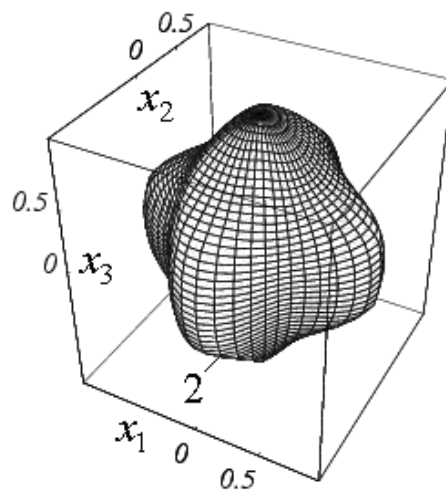
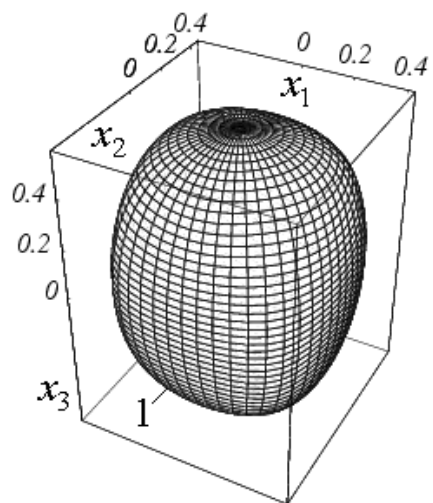


Рис. 1.

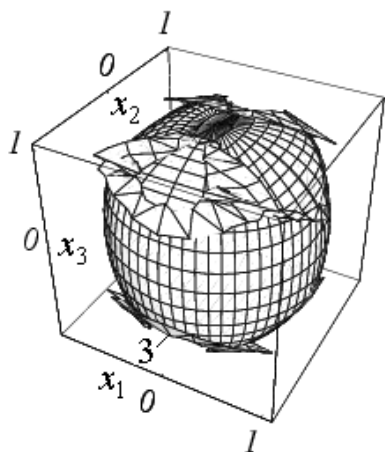
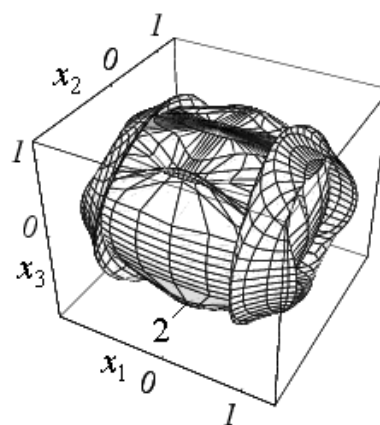
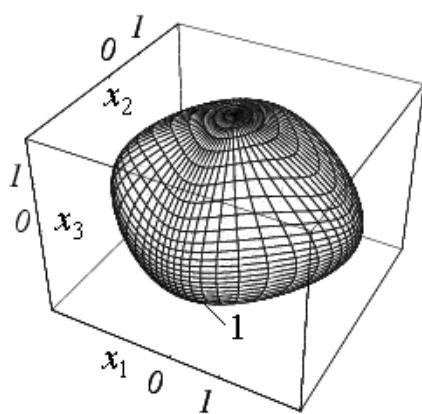


Рис. 2.

Подрисовочные подписи:

Рис. 1. Безразмерные поверхности обратных скоростей $1/v_i$, $i = \overline{1,3}$ для тканевого стеклопластика горячего прессования СТЭТ: 1 – для квазипродольной волны; 2, 3 – для квазипоперечных волн

Рис. 2. Безразмерные трехмерные фронты упругих волн, распространяющиеся в тканевом стеклопластике СТЭТ: 1 - квазипродольная волна; 2, 3 – квазипоперечные волны

УДК 539.3

Босяков С.М. Поверхности обратных скоростей и трехмерные волновые фронты для ортотропных сред // Вестник БГУ. Серия 1.

Получены выражения для скоростей распространения квазипродольных и квазипоперечных волн в ортотропном материале, а также выражения для координат точек среды, определяющих положение трехмерного волнового фронта в любой момент времени. Приведены примеры построения поверхностей обратных скоростей и волновых поверхностей для ориентированного стеклопластика.

Bosiakov S. M. The surface of inverse velocities and three-dimensional wave fronts for orthotropic media